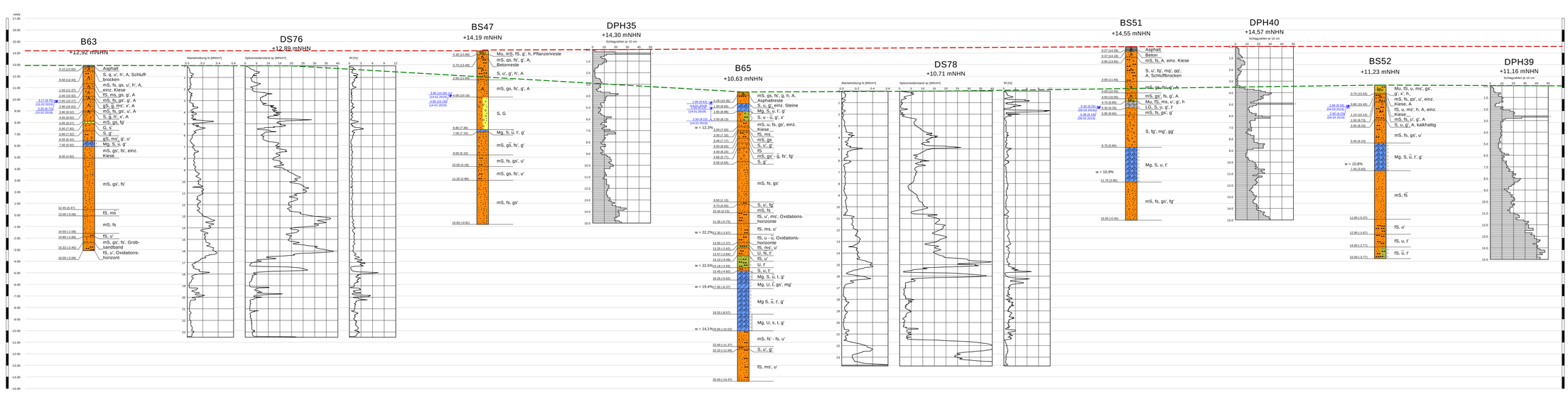
mNN
B63
+12,92 mNHN
0.10 (12.82) Asphalt
0.50 (12.42) S, g, u', h', A, Schuff-brocken
1.55 (11.37) mS, fs, gs, u', h', A, einz. Kiese
2.00 (10.92) fS, ms, gs, g', A
3.17 (9.75) 1.60 (10.37) mS, fs, gs', g', A
(29.04.2019) 2.80 (10.10) gS, g, ms', x', A
3.00 (9.75) (19.02.2019) 3.90 (9.00) mS, fs, gs', u', A
4.00 (8.92) S, g, h', x', A
4.80 (8.07) mS, gs, fg'
5.00 (7.92) G, x'
5.60 (7.32) S, g'
6.50 (6.42) gS, msG, g', u'
7.00 (5.92) Mg, S, u, g'
8.00 (4.92) mS, gs', fs', einz. Kiese
mS, gs', fs'
12.45 (0.47)
13.00 (-0.08) fS, ms
mS, fs
14.50 (-1.58)
14.80 (-1.88) fS, u'
mS, gs', fs', Grob-sandband
15.10 (-2.48) fS, u', Oxidations-horizont
16.00 (-3.08)
Mantelreibung fs [MN/m²]
Spitzenwiderstand qc [MN/m²]
Rf [%]
DS76
+12,89 mNHN
BS47
+14,19 mNHN
0.30 (13.89)
0.70 (13.49)
2.50 (11.69)
Mu, mS, fS, g', h, Pflanzenreste
mS, gs, fs', g', A, Betonreste
S, u', g', h', A
mS, gs, fs', g', A
3.80 (10.39) (14.03.2019)
4.00 (10.19) (14.03.2019)
4.00 (10.19)
S, G
6.80 (7.39)
7.00 (7.19)
Mg, S, u, r, g'
mS, gS, fs', g'
9.00 (5.19)
mS, fs, gs', u'
10.00 (4.19)
mS, gs, fs', u'
11.20 (2.99)
mS, fs, gs'
15.00 (-0.81)
Schlagzahlen je 10 cm
DPH35
+14,30 mNHN
B65
+10,63 mNHN
mS, gs, fs', g, fs, A, Asphaltreste
1.00 (9.63) (14.03.2019) 1.00 (9.63) 1.65 (8.98) S, u, g', einz. Steine
2.50 (8.13) (14.03.2019) 2.50 (8.13) Mg, S, u, r, g'
w = 12,4% 3.00 (7.63) mS, u, fs, gs', einz. Kiese
3.50 (7.13) fS, ms
3.44 (7.17) mS, gs
4.00 (6.63) S, u', g'
4.40 (6.23) fS
4.65 (5.98) mS, gs' - g, fs', fg'
6.00 (4.63) S, g'
mS, fs, gs'
8.50 (2.13) S, u', fg'
9.70 (0.93) mS, fs
10.40 (0.23) fS, u', ms', Oxidations-horizonte
11.35 (-0.72) fS, ms, u'
w = 22,2% 12.30 (-1.67) fS, u', g', Oxidations-horizonte
13.00 (-2.37) fS, ms', u'
13.20 (-2.57) fS, u', g'
13.67 (-2.84) fS, u'
14.12 (-3.49) U, r'
w = 22,5% 15.10 (-4.93) S, u, r'
15.45 (-4.82) Mg, S, u, r, g'
16.25 (-5.62) Mg, U, r, gs', mg'
w = 19,4% 17.00 (-6.37) Mg S, u, r, g'
18.20 (-7.57) Mg, U, s, r, g'
w = 14,1% 20.65 (-10.02) mS, fs' - fs, u'
22.00 (-11.37) S, u', g'
22.22 (-11.59) fS, ms', u'
25.00 (-14.37)
DS78
+10,71 mNHN
BS51
+14,55 mNHN
0.27 (14.28) Asphalt
0.37 (14.18) Beton
0.90 (13.65) mS, fs, A, einz. Kiese
3.00 (11.55) S, u', fg', mg', gg', A, Schuttbrocken
4.00 (10.55) mS, gs', fs, g', A
4.50 (10.05) mS, gs', fs, g', A
4.70 (9.85) Mu, fS, ms, u', g', h
5.30 (9.25) (04.02.2019) 5.30 (9.25) LG, S, u, g', r'
5.90 (8.65) (05.02.2019) 5.90 (8.65) mS, fs, gs', g'
S, fg', mg', gg'
8.70 (5.85)
Mg, S, u, r'
w = 10,9%
11.70 (2.85)
mS, fs, gs', fg'
13.00 (1.55)
DPH40
+14,57 mNHN
BS52
+11,23 mNHN
0.70 (10.53) Mu, fS, u, ms', gs', g', x', h,
1.90 (9.33) (04.03.2019) 1.90 (9.33) 2.10 (9.13) (18.03.2019) 2.10 (9.13) mS, fs, u', g', A
3.10 (8.13) S, u, g', A, kalkhaltig
3.95 (8.23) mS, fs, gs', u'
w = 10,8% 7.40 (4.83) Mg, S, u, r, g'
mS, fS
11.60 (-0.37) fS, u'
12.90 (-1.67) fS, u, r'
14.50 (-2.77) fS, u, r'
15.00 (-3.77)
DPH39
+11,16 mNHN
Schlagzahlen je 10 cm
Legende
ca. Geländeoberfläche am östlichen Dammfuß
ca. Höhe Bestandsgradiente
Hinweis: Darstellung in Längsrichtung ohne Maßstab.
Bodenart
A Auffüllung (A)
Mu Mutterboden (Mu)
Asphalt / Beton
Kies / Kiessig (Grg)
Sand / sandig (SIs)
Schluff / schluffig (UNi)
Ton / tonig (TA)
Geschiebelehm (Lg)
Geschiebemergel (Mg)
Mudde (F)
Torf / humos (HN)
organisch (o)
Holzkohle (hzk)
Konsistenz
breiig
weich
steif
halbfest
fest
Wasserstände
GW Ruhe
GW Bohrende
GW angestiegen
GW versickert
GW angestiegen
Index Änderungen und Ergänzungen bearbeitet Datum
Auftraggeber
DEGES
Deutsche Einheit Fernstraßenplanungs- und -bau GmbH
Zimmerstraße 54
10117 Berlin
Auftragnehmer
Kempfert + Partner Geotechnik
Kempfert Geotechnik GmbH
Hasenhöhe 128
D-22587 Hamburg
www.kup-geotechnik.de
Projekt
BAB A7, Ersatzneubau Rader Hochbrücke,
Streckengutachten Abschnittserweiterung,
Geotechnischer Bericht
Planinhalt
Ergebnisse der Untergrundaufschlüsse,
Erweiterungsbereich Nord, Ostseite,
Blatt 2 (Bau-km 0-120 bis Bau-km 0+000)
Az. HH 229.1/16
Bearbeiter km / fk / pb
Datum 27.09.2019
Maßstab (HÖ.) 1:100 / -
Blattformat 1580 x 360 mm
Anlagen Nr. 3.2